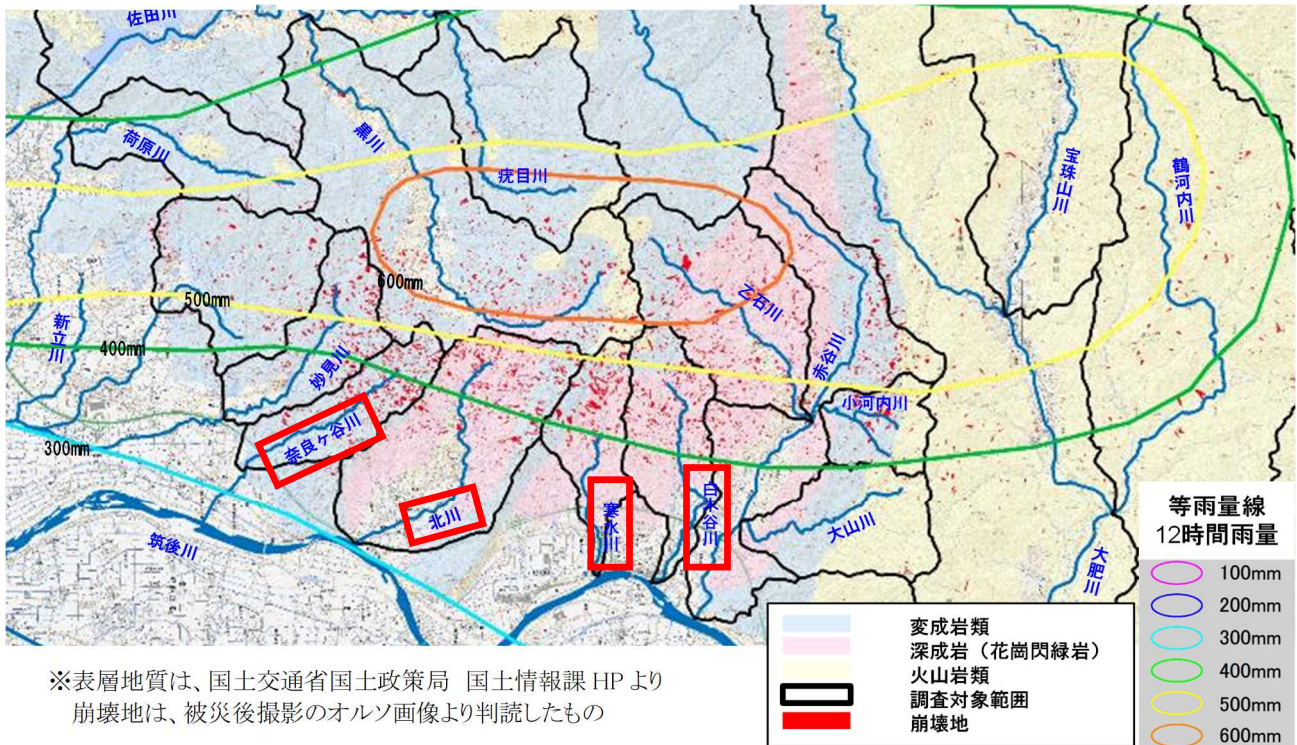


## 2.2 河川からの土砂流入

### 2.2.1 近年の豪雨による土砂の発生

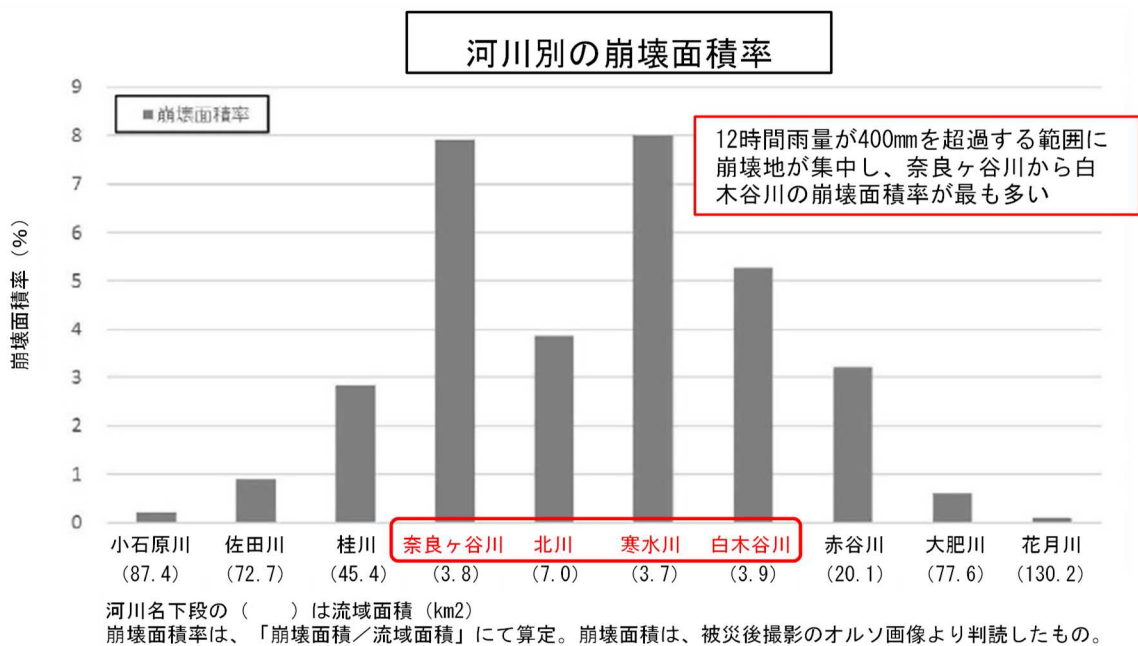
#### (1) 平成 29 年 7 月九州北部豪雨における斜面崩壊位置及び崩壊面積率



※表層地質は、国土交通省国土政策局 国土情報課 HP より  
崩壊地は、被災後撮影のオルソ画像より判読したもの

付図 2.2.1-1 平成 29 年 7 月九州北部豪雨の斜面崩壊位置

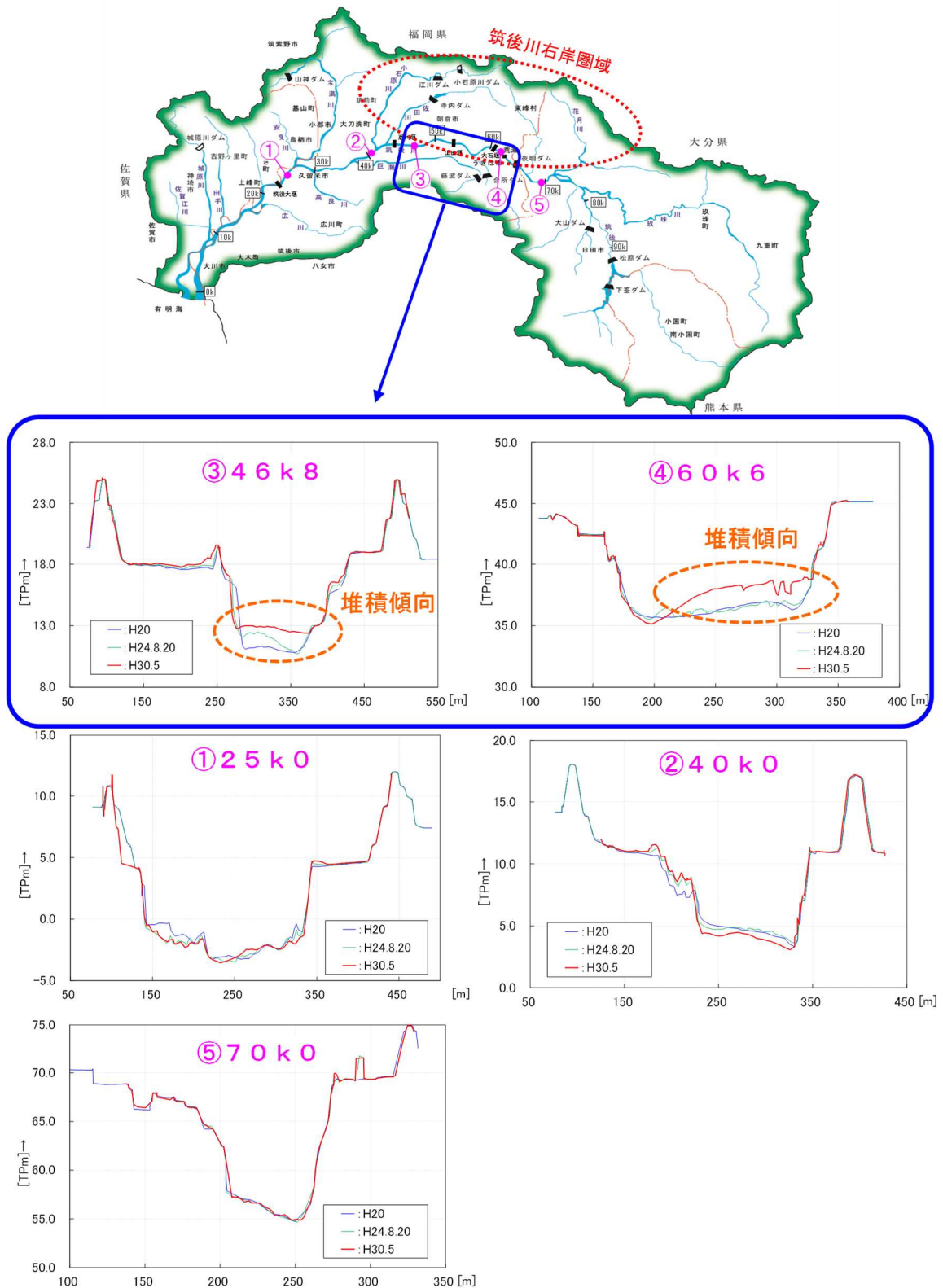
出典：環境省(2020)「有明海・八代海等総合調査評価委員会 第 5 回海域環境再生方策検討作業小委員会資料」



付図 2.2.1-2 平成 29 年 7 月九州北部豪雨における筑後川中流右岸流域支川の崩壊面積率

出典：環境省(2020)「有明海・八代海等総合調査評価委員会 第 5 回海域環境再生方策検討作業小委員会資料」

(2) 平成 29 年 7 月九州北部豪雨後の河川の状況



付図 2.2.1-3 平成 29 年 7 月九州北部豪雨災害後の筑後川(河道横断形状の変化)

出典:環境省(2020)「有明海・八代海等総合調査評価委員会 第5回海域環境再生方策検討作業小委員会資料」